

Министерство образования Республики Беларусь
Учреждение образования
БЕЛОРУССКИЙ ГОСУДАРСТВЕННЫЙ УНИВЕРСИТЕТ
ИНФОРМАТИКИ И РАДИОЭЛЕКТРОНИКИ

Факультет компьютерных систем и сетей
Кафедра информатики
Дисциплина: Методы численного анализа

ОТЧЁТ
к лабораторной работе
на тему

Метод сеток решения задачи Дирихле для уравнения Пуассона

Выполнил:
студент гр. 153505
Власенко Тимофей Павлович

Проверил:
Доцент
Анисимов Владимир Яковлевич

Содержание

1. Цель работы
2. Теоретические сведения
3. Решение задания
4. Выводы

Цель работы

- изучить метод разностных аппроксимаций для уравнения Пуассона;
- составить алгоритмы решения задачи Дирихле для уравнения Пуассона методом сеток, применимыми для организации вычислений на ПЭВМ;
- составить программы решения задачи Дирихле для уравнения Пуассона по разработанным алгоритмам;

Теоретические сведения

Пусть $D = \{(x, y): 0 < x < 1, 0 < y < 1\}$ – открытый квадрат, Γ – его граница, $\bar{D} = D \cup \Gamma$ – замкнутый квадрат, $f(x, y)$ – заданная на \bar{D} достаточно гладкая функция. Задача Дирихле состоит в следующем. Требуется найти непрерывную на \bar{D} функцию $u(x, y)$, удовлетворяющую на открытом квадрате D уравнению Пуассона

$$-\Delta u = -\left(\frac{\partial^2 u}{\partial x^2} + \frac{\partial^2 u}{\partial y^2}\right) = f(x, y) \quad (2.48)$$

и принимающую на границе квадрата значение равное нулю, т. е.

$$u(x, y) = 0 \quad \text{на } \Gamma. \quad (2.49)$$

Задача Дирихле (2.48), (2.49) имеет единственное решение $u(x, y)$.

Положим $h = 1/N$, $x_k = kh$, $y_m = mh$, $f_{km} = f(x_k, y_m)$. Построим сетки

$$\omega_h = \{(x_k, y_m): k, m = 0, 1, \dots, N\},$$

$$\omega'_h = \{(x_k, y_m): k, m = 1, 2, \dots, N-1\},$$

$\omega_h^* = \omega_h \setminus \omega'_h$ (ω_h^* — множество узлов, лежащих на Γ). Зададим нормы

$$\|v\|_h = \max_{\omega_h} |v_{km}|, \quad \|v\|'_h = \max_{\omega'_h} |v_{km}|.$$

Разностная схема:

$$\Delta v_{km} = f_{km}, \quad k, m = 1, 2, \dots, N-1, \quad (2.50)$$

$$v_{km} = 0 \quad \text{на } \omega_h^*, \quad (2.51)$$

Разностное уравнение (2.50) в более подробной записи имеет вид

$$-\frac{v_{k+1,m} - 2v_{km} + v_{k-1,m}}{h^2} - \frac{v_{k,m+1} - 2v_{km} + v_{k,m-1}}{h^2} = f_{km}. \quad (2.52)$$

Его шаблон изображен на рис. 2.6

π
 π

Его шаблон изображен на рис. 2.6

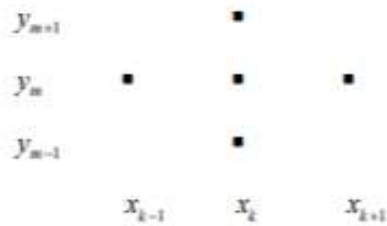


Рис. 2.6

Решение v разностной задачи Дирихле находится методом последовательных приближений по схеме переменных направлений, где $f_{km}^{v-1/2} = f(x_k, y_m)$, v_{km}^0 – произвольные. Можно доказать, что $\lim_{v \rightarrow \infty} v_{km}^v = v_{km}$, $k, m = 1, 2, \dots, N-1$, при любых начальных приближениях v_{km}^0 , причем наибольшая скорость сходимости достигается при $\tau \approx h/\pi$. Здесь положена в основу идея о стабилизации при $t \rightarrow +\infty$ решения уравнения теплопроводности к решению уравнения Пуассона, если f не зависит от t .

Разностная схема (2.51), (2.52) устойчива по правой части, т. е. разностная задача

$$\begin{aligned} \Lambda z_{km} &= \xi_{km}, \quad k, m = 1, 2, \dots, N-1, \\ z_{km} &= 0 \quad \text{на } \omega^* \end{aligned}$$

при любом $h = 1/N$, $N \geq 2$, имеет единственное решение z и это решение удовлетворяет неравенству

$$\|z\|_h \leq c \|\xi\|_h, \quad (2.53)$$

где c – некоторая постоянная, не зависящая от h и сеточной функции ξ .

Предположим, что решение задачи Дирихле (2.48), (2.49) достаточно гладкое на замкнутом квадрате \bar{D} , а именно, $u(x, y) \in C_4(\bar{D})$. Тогда разностное уравнение (2.51) аппроксимирует дифференциальное уравнение (2.48) на решение задачи (2.48), (2.49) со вторым порядком относительно h , т. е.

$$\|\psi\|_h = O(h^2), \quad (2.54)$$

где

$$\psi_{km} = \Lambda u_{km} - f_{km}, \quad (2.55)$$

есть невязка для разностного уравнения. При получении оценки (2.54) используется тот факт, что частным производным u''_{xx} и u''_{yy} , входящим в уравнение (2.48), в разностном уравнении (2.52) отвечают вторые разностные производные, аппроксимирующие указанные частные производные с точностью второго порядка по h . Поскольку краевое условие (2.49) аппроксимируется на сетке ω_h^* согласно (2.53) точно, то из (2.54) и устойчивости разностной схемы (2.50), (2.52) по правой части вытекает сходимость ее решения v к решению $u \in C_4(\bar{D})$ задачи (2.48), (2.49) со вторым порядком относительно h , т. е.

$$\|u - v\|_h = O(h^2). \quad (2.56)$$

Действительно, из уравнения (2.52), равенства (2.56) и условий (2.49), (2.53) вытекает, что погрешность $r = u - v$ на сетке ω_h является решением разностной задачи

$$\begin{aligned} \Delta r_{km} &= \psi_{km}, & k, m = 1, 2, \dots, N-1, \\ r_{km} &= 0 \text{ на } \omega_h^*. \end{aligned}$$

Отсюда и из (2.54), (2.55) следует (2.56). Разностная схема (2.50), (2.52) обладает вторым порядком точности.

Случай произвольной области.

Рассмотрим задачу Дирихле

$$-\Delta u(x, y) = f(x, y) \text{ на } G, \quad (2.57)$$

где

$$u(x, y) = \varphi(x, y) \text{ на } \Gamma, \quad (2.58)$$

где G – некоторая конечная область (рис.2.7), Γ – граница области G ; $f(x, y)$ – заданная на области G функция; $\varphi(x, y)$ – заданная на границе Γ функция.

Строится, как и ранее, квадратная сетка с шагом h . Во всех расположенных в области G узлах сетки, которые можно соединить с четырьмя ближайшими узлами отрезками прямых, не пересекая границу Γ , разностное уравнение задается в следующем виде:

$$\Delta v_{km} = f_{km}, \quad (2.59)$$

где Δ – оператор (2.52). Указанные узлы обозначены на рис. 2.7 точками. Шаблон разностного уравнения (2.57) показан на рис. 2.6. В узлах, находящихся в области G вблизи ее границы Γ (отмеченных на рис. 2.7 треугольниками), для задания разностных уравнений применяется линейная интерполяция в направлении оси x или оси y . Например, в точке с номером 0 уравнение имеет вид

$$v_0 = \frac{\rho_1}{\rho_1 + \rho_2} v_2 + \frac{\rho_2}{\rho_1 + \rho_2} \varphi_1, \quad (2.60)$$

где ρ_1 – расстояние от точки 0 до точки 1 на границе Γ , в которой берется заданное значение функции φ , обозначенное через φ_1 ; v_0, v_2 – неизвестные в точках 0, 2; $\rho_2 = h$ – расстояние между этими точками.

Здесь для простоты используется один индекс. Формула (2.60) означает линейную интерполяцию между точками 1, 2 в точку 0.

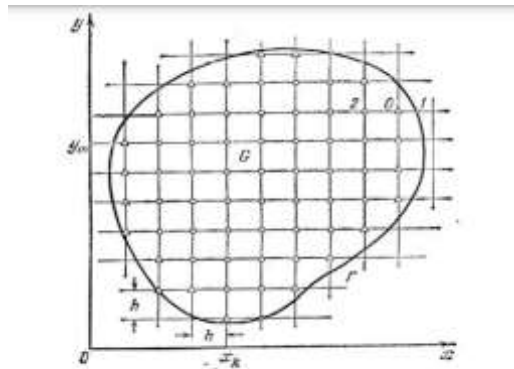


Рис. 2.7.
Г. П. С. 2. 1.

Аналогично разностные уравнения задаются в остальных узлах, обозначенных треугольниками. При этом расстояния от точки, в которую производится интерполяция, до обеих крайних точек не должны превышать h и одна или обе крайние точки должны лежать на границе Γ . Уравнения (2.59), имеющие более подробную запись (2.52), разрешим относительно v_{lm} :

$$v_{lm} = \frac{v_{k-l,m} + v_{k+l,m} + v_{k,m-1} + v_{k,m+1}}{4} + \frac{h^2}{4} f_{lm}. \quad (2.61)$$

Итак, в каждом узле, обозначенном кружком, задано уравнение (2.61), а в каждом узле, отмеченном треугольником, уравнение имеет вид (2.60). Общее число уравнений совпадает с числом неизвестных. Полученная система линейных алгебраических уравнений имеет единственное решение v ,

для нахождения которого могут быть применены методы простых итераций и Зейделя.

Если $u(x, y) \in C_4(\bar{G})$, решение задачи Дирихле то справедлива оценка

$$\max_{G_h} |u - v| = O(h^2), \quad (2.62)$$

где G_h – множество всех узлов, обозначенных кружками и треугольниками.

Решение $u(x, y)$ принадлежит классу $C_4(\bar{G})$, например, если граница Γ обладает трижды непрерывно дифференцируемой производной, функция φ длины s дуги границы Γ имеет ограниченную пятую производную, а $f(x, y) \in C_3(\bar{G})$.

ЗАДАНИЕ К ЛАБОРАТОРНОЙ РАБОТЕ №15

Пластина прямоугольной формы с вырезом на одной из сторон жестко закреплена по краям и равномерно нагружена по площади рис 2.8. Прогиб пластины определяется из уравнения Пуассона. Рассчитать прогиб $W(x, y)$ по данным, приведенным в табл. 2.11 A, B – размеры пластины; h – ее толщина; R – радиус выреза; P – нагрузка; E – модуль упругости; ν – коэффициент Пуассона. Граничное условие $W=0$.

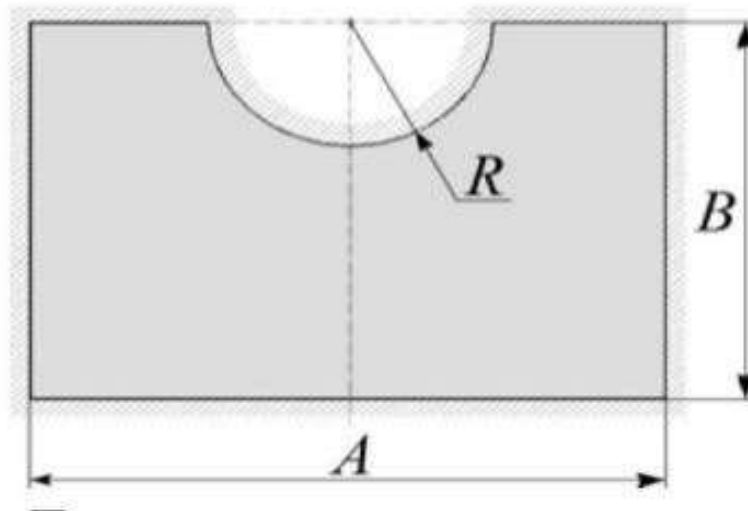


Рис 2.8

$$\left(\frac{\partial^2 w(x, y)}{\partial x^2} + \frac{\partial^2 w(x, y)}{\partial y^2} \right) = P/D,$$

где $D = Eh^3 / [12(1-\nu^2)]$ – изгибная жесткость, E – модуль упругости, h – толщина пластины, ν – коэффициент Пуассона.

Номер варианта	Параметры						
	$A,$ мм	$B,$ мм	$R,$ мм	$h,$ мм	$P,$	$E, \text{Н/м}^2$	ν
7	180	100	40	4	55	$70 \cdot 10^9$	0.3

Для решения данного дифференциального уравнения аппроксимируем вторые производные как:

$$\frac{\partial^2 u}{\partial x^2} = \frac{u(x+h, y) - 2u(x, y) + u(x-h, y)}{h^2}$$

$$\frac{\partial^2 u}{\partial y^2} = \frac{u(x, y+h) - 2u(x, y) + u(x, y-h)}{y^2}$$

Тогда, для каждого внутреннего узла составим разностную схему вида:

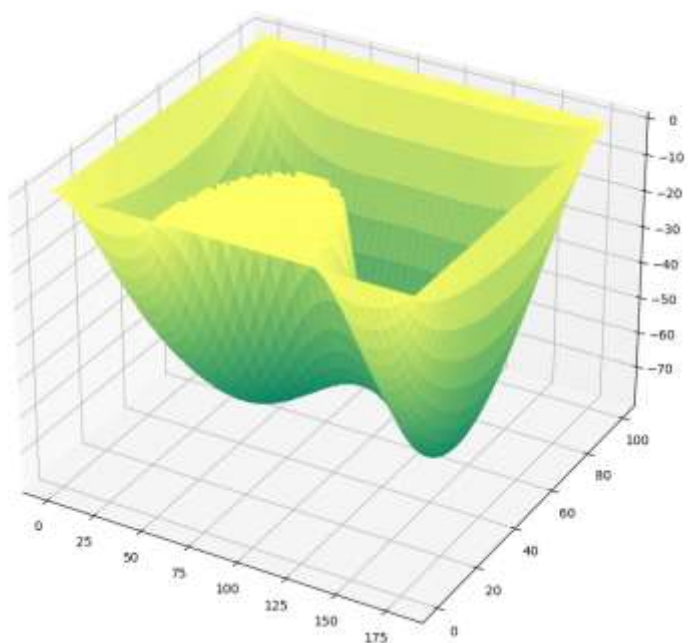
$$\frac{W_{i+1,j} - 2W_{i,j} + W_{i-1,j}}{h^2} + \frac{W_{i,j+1} - 2W_{i,j} + W_{i,j-1}}{h^2} = \frac{P}{D}$$

Упростим выражение:

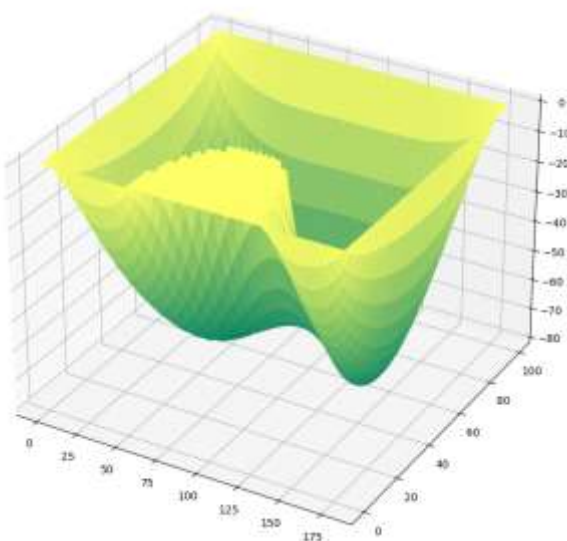
$$W_{i+1,j} + W_{i-1,j} + W_{i,j+1} + W_{i,j-1} - 4W_{i,j} = \frac{Ph^2}{D}$$

Для остальных (граничных и внешних точек) значение $W_{i,j} = 0$. Данную разностную схему можно решать как систему линейных уравнений. При этом решение разностной схемы необходимо представить в виде вектора.

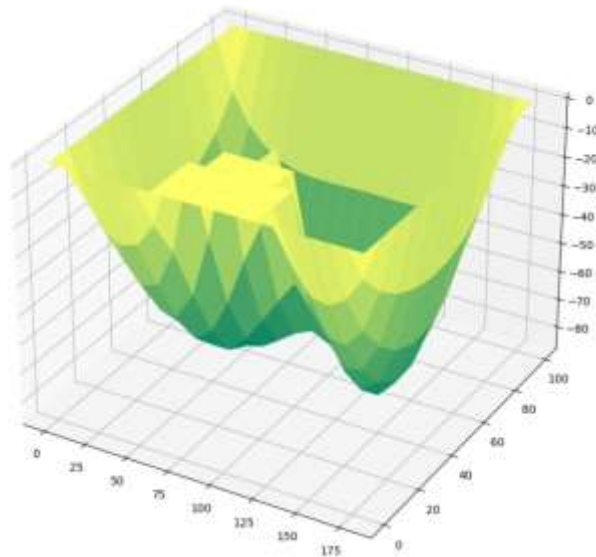
С шагом 1



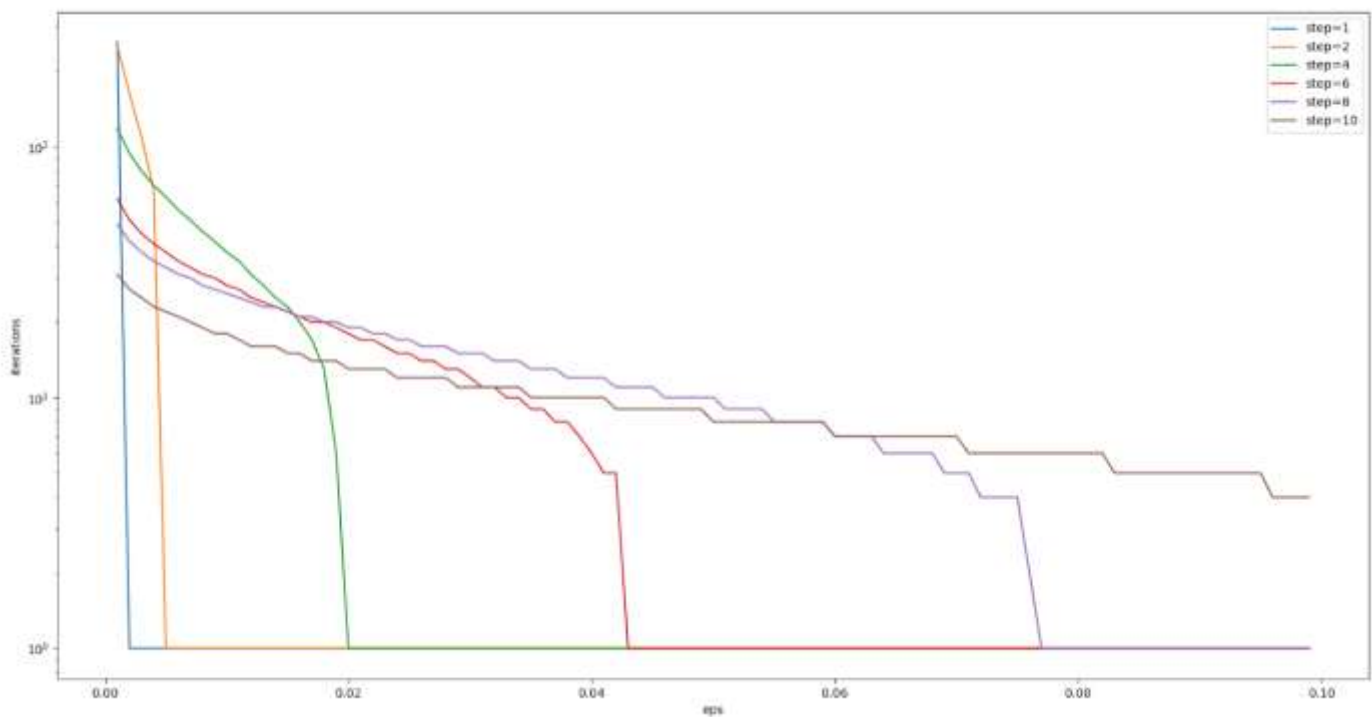
С шагом 2.



Вычислим решение разностной схемы с шагом 10



Зависимость количества затраченных итераций от ошибки численного решения для размеров шага, равных 1, 2, 4, 6, 8, 10.



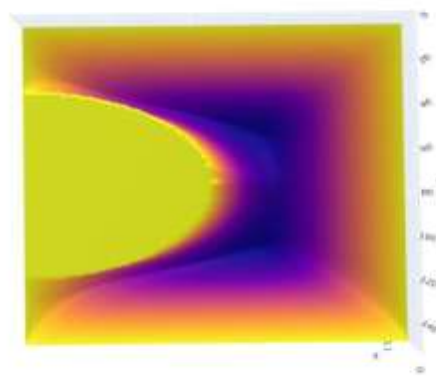
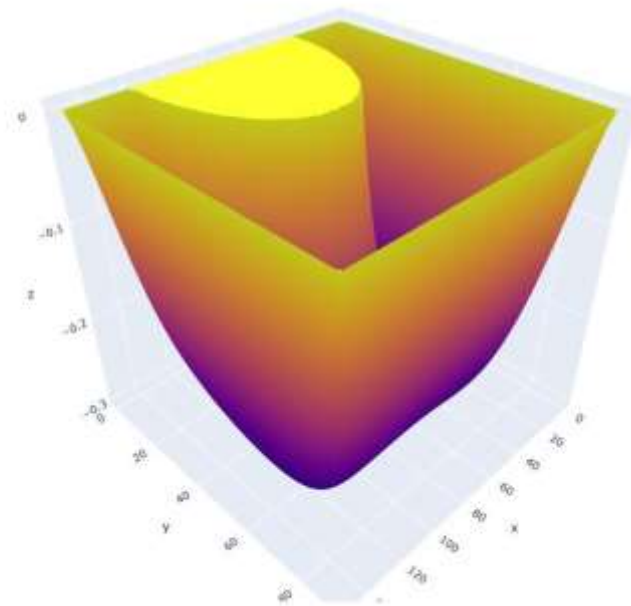
Тестовый пример

Задание. Пластина прямоугольной формы с вырезом на одной из сторон жёстко закреплена по краям и равномерно нагружена по площади. Прогиб пластины определяется из уравнения Пуассона. Рассчитать прогиб $W(x,y)$ по данным, соответствующим варианту: A,B- размеры пластины; h- её толщина; R-радиус выреза; P- нагрузка; E- модуль упругости; ν - коэффициент Пуассона. Граничное условие $W_{x,y}=0$.

$$2w(x,y)x^2 + 2w(x,y)y^2 = PD$$

, где $D=Eh^3/12(1-\nu^2)$ - изгибная жёсткость.

$A=150\text{мм}, B=90\text{мм}, R=45\text{мм}, h=6\text{мм}, P=65 \cdot 10^9, E=140\text{Нм}^2, \nu=0.28$.



Выводы

Таким образом, в ходе выполнения лабораторной работы, был изучен метод разностных аппроксимаций для уравнения Пуассона.

Также было получено решение задачи Дирихле для уравнения Пуассона в рамках задачи расчёта прогиба пластины прямоугольной формы, жёстко закреплённой по краям, с заданными параметрами.

В заключение, была показана зависимость количества итераций от размера ошибки численного решения.